## ESTRUCTURA DE LA MATERIA 2

## SEGUNDO CUATRIMESTRE 2025

## Guía 7: Magnetismo

1. Partiendo del Hamiltoniano para una partícula libre de espín 1/2

$$H = \frac{(\vec{\sigma} \cdot \mathbf{p})^2}{2m}$$

y reemplazando  $\mathbf{p} \to \mathbf{p} + e\mathbf{A}/c$ , obtener la variación de energía de un átomo en presencia de un campo magnético externo  $\mathbf{h}$  usando teoría de perturbaciones a segundo orden

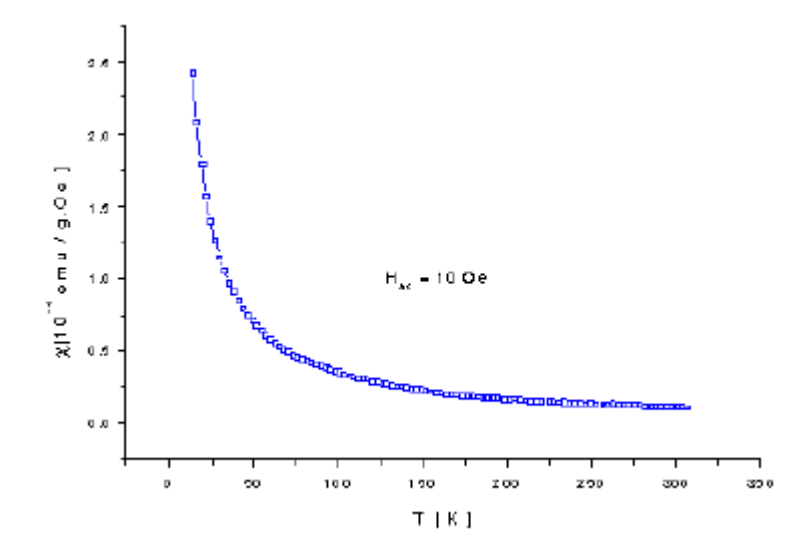
$$\Delta E_n = \mu_B \mathbf{h} \cdot \langle n | \mathbf{L} + g_0 \mathbf{S} | n \rangle + \sum_{n' \neq n} \frac{\left| \langle n | \mu_B \mathbf{h} \cdot (\mathbf{L} + g_0 \mathbf{S}) | n' \rangle \right|^2}{E_n - E_{n'}} + \frac{e^2 h^2}{8mc^2} \left\langle n \left| \sum_i \left( x_i^2 + y_i^2 \right) \right| n \right\rangle$$

donde  $\mu_B = \frac{e\hbar}{2mc}$  es el magnetón de Bohr.

- 2. Aplicando las reglas de Hund calcular la configuración electrónica y momentos magnéticos aproximados correspondientes al estado fundamental de los siguientes iones:  $Fe^{2+}$ ,  $Fe^{3+}$ ,  $Mn^{2+}$ ,  $Zn^{2+}$  y  $Eu^{3+}$ .
- 3. La función de onda del hidrógeno es  $\Psi = (\pi a_0)^{-1/2} \exp(-r/a_0)$  para su estado fundamental (1s), donde  $a_0 = \hbar^2/me^2 = 0.529 \times 10^{-8} \text{cm}$  es el radio de Bohr. Mostrar que para este estado  $\langle r^2 \rangle = 3a_0^2$ . Obtener la susceptibilidad diamagnética molar del átomo de hidrógeno.
- 4. Obtener la susceptibilidad paramagnética de un átomo con una capa parcialmente llena con momento angular total J, en el límite de altas temperaturas:

$$\chi = \frac{N}{V} \frac{(g\mu_B)^2}{3} \frac{J(J+1)}{k_B T}, \ (k_B T \gg g\mu_B h).$$

5. El gráfico corresponde a una medida de susceptibilidad de CrK(SO<sub>4</sub>)<sub>2</sub>. El único elemento que posee momento magnético es el Cr. La susceptibilidad magnética que se mide para este sistema es la que se muestra en la Figura.



- a) ¿Se trata de un paramagneto, un ferromagneto, un antiferromagneto, otra cosa?
- b) ¿La respuesta magnética proviene de momentos magnéticos localizados en los átomos o es de tipo itinerante (paramagnetismo de bandas)?
- c) En base a la respuesta anterior decida si es posible estimar el producto  $s(s+1)g^2$ , donde s es el spin y g el factor de Landé.
- 6. Graficar las susceptibilidades diamagnética y paramagnética  $\chi_{dia}$ ,  $\chi_{para}$  (Curie Weiss) en función de la temperatura para el caso de un aislador paramagnético tipo  $A_2B_3$ . Considerar el número de átomos magnéticos por unidad de volumen  $N_A = 5 \times 10^{22} \text{at/cm}^3$ , factor de Landé g = 2, s = 1 (tomar L = 0) y  $\sum_i \overline{r_i^2} \simeq 2 \times 10^{-20} \text{m}^2$  el valor promedio para los dos elementos que integran la muestra.
  - a) ¿Domina el efecto diamagnético en algún rango de temperaturas?
  - b) ¿Qué valor debería tener s para que a temperatura ambiente  $\chi_{dia} > \chi_{para}$ ?
  - c) Usando una temperatura de Fermi del orden de  $8 \times 10^4$  K comparar con la susceptibilidad  $\chi_{para}$  (Pauli) que se esperaría si el material fuera un metal con idénticos valores de  $N_A$  y s y que sus electrones de conducción pueden ser tratados como libres.
- 7. Considere un modelo de Ising ferromagnético de espín S=1 en una red triangular. El Hamiltoniano es:

$$\mathcal{H} = -J \sum_{\langle ij \rangle} S_i^z S_j^z - H \sum_i S_i^z,$$

donde H es una campo magnético uniforme y la primera suma es sobre primeros vecinos.

- a) Encuentre el Hamiltoniano de campo medio  $\mathcal{H}_{MF}$  para este modelo.
- b) Derive la energía libre por sitio F/N en campo medio.
- c) Encuentre la ecuación autoconsistente para la magnetización local  $m = \langle S_i^z \rangle$  y obtenga la temperatura crítica  $T_C(H=0)$ .
- d) Suponiendo  $|H| \ll k_B |T T_C| \ll J$ , expanda la energía libre adimensional f = F/6NJ en función de  $\theta = T/T_C$ ,  $h = H/k_BT$  y m. Minimizando para m, halle una expresión para la susceptibilidad magnética  $\chi = \partial m/\partial h$  cerca del punto crítico.
- 8. Considerar el modelo de Ising en una red consistente en dos redes interpenetradas 1 y 2 y el Hamiltoniano:

$$\mathcal{H} = -J_1 \sum_{\langle i_1, j_1 \rangle} S_{i_1}^z S_{j_1}^z - J_2 \sum_{\langle i_2, j_2 \rangle} S_{i_2}^z S_{j_2}^z - J_3 \sum_{\langle i_1, j_2 \rangle} S_{i_1}^z S_{j_2}^z - H \sum_{i_1} S_{i_1}^z - H \sum_{i_2} S_{i_2}^z,$$

siendo  $J_1$ ,  $J_2$ ,  $J_3 > 0$ , las interacciones entre primeros vecinos dentro de la subred 1, 2, y entre 1 y 2, respectivamente.

- a) Plantear la solución de campo medio para este modelo, definiendo dos magnetizaciones  $m_1$  y  $m_2$  correspondientes a cada una de las dos subredes.
- b) Escribir las ecuaciones de autoconsistencia para  $m_1$  y  $m_2$ . En ausencia de campo magnético, ¿es posible que existan dos transiciones de fase en este modelo como función de la temperatura? ¿Por qué?

- c) Considerando que cerca de la temperatura crítica  $T_c$ ,  $m_1$  y  $m_2$  son pequeños, intentar encontrar el exponente crítico  $\beta$  a campo magnético externo B=0 a partir de aproximaciones adecuadas.
- d) Discutir en qué limite se recupera el modelo de Ising ferromagnético con interacciones entre primeros vecinos y demostrar que se recuperan las expresiones correspondientes para la magnetización y la susceptibilidad magnética cerca de la temperatura crítica.
- 9. Considerar el modelo de Ising "cuántico", definido por el siguiente Hamiltoniano:

$$\mathcal{H} = -J \sum_{\langle ij \rangle} S_i^z S_j^z - \Gamma \sum S_i^x,$$

con J > 0.

- a) Escribir las ecuaciones de campo medio para este modelo.
- b) Graficar esquemáticamente el diagrama de fases en el plano  $\Gamma-T$  y discutir la naturaleza de cada una de las fases. Encontrar los valores críticos de  $\Gamma$  para T=0 y de T para  $\Gamma=0$ .